

УДК 533.92, 535–31, 621.327

## Энергетические характеристики эксилампы барьера разряда на смеси Xe–Cl<sub>2</sub>

Э.А. Соснин<sup>1,2</sup>, С.В. Автаева<sup>3</sup>, В.А. Панарин<sup>2</sup>, В.Ф. Тарасенко<sup>1\*</sup>

<sup>1</sup>Институт сильноточной электроники СО РАН  
634055, г. Томск, пр. Академический, 2/3

<sup>2</sup>Национальный исследовательский Томский государственный университет  
634050, г. Томск, пр. Ленина, 36

<sup>3</sup>Кыргызско-Российский Славянский университет  
720021, г. Бишкек, ул. Киевская, 44

Поступила в редакцию 15.03.2013 г.

Экспериментально и теоретически изучено влияние концентрации хлора на эффективность излучения коаксиальной эксилампы барьера разряда в бинарных смесях Xe–Cl<sub>2</sub> при давлении рабочей смеси 240–250 торр. Экспериментальные исследования проведены в диапазоне концентраций Cl<sub>2</sub> 0,01–1%. Расчеты характеристик барьера разряда выполнены в рамках одномерной гидродинамической модели в диапазоне концентраций Cl<sub>2</sub> 0,1–5%.

Показано, что при концентрации хлора в смеси 0,01–0,1% интенсивности излучения полос Xe<sub>2</sub>\* (172 нм) и XeCl\* (308 нм) сопоставимы. С ростом концентрации Cl<sub>2</sub> в смеси интенсивность излучения молекулы Xe<sub>2</sub>\* быстро падает и при концентрации хлора ≥ 0,2% излучение полосы B → X молекул XeCl\* с максимумом интенсивности на длине волны 308 нм доминирует в потоке излучения разряда. Максимальная эффективность излучения этой полосы наблюдается при концентрациях хлора 0,4–0,5%.

Численно показано, что полная мощность, вкладываемая в разряд, увеличивается с ростом концентрации хлора вследствие роста мощности, расходуемой на нагрев положительных и отрицательных ионов. Мощность, рассеиваемая электронами, уменьшается с ростом концентрации хлора в рабочих смесях.

Даны рекомендации по выбору величины содержания хлора в смеси для снижения интенсивности вакуумного ультрафиолетового излучения второго континуума эксимера Xe<sub>2</sub>\* при незначительном уменьшении эффективности эксилампы.

**Ключевые слова:** XeCl, эксиплексная лампа, эффективность излучения, барьерный разряд, гидродинамическая модель; XeCl, excilamp, radiation efficiency, dielectric barrier discharge, magnetohydrodynamic model.

### Введение

Эксилампы — это семейство источников спонтанного УФ-излучения на основе эксимерных и эксиплексных молекул [1, 2]. Одной из наиболее востребованных сегодня для проведения фотобиологических процессов является эксилампа на рабочей молекуле XeCl\* [2]. При условиях, типичных для XeCl-эксиламп барьера разряда (короткий разрядный промежуток и относительно высокое давление), считается, что в спектре излучения доминирует интенсивная B → X-полоса XeCl\* с максимумом интенсивности на длине волны 308 нм [1–4]. Интенсивность D → X- и C → A-полос молекулы XeCl\*, а также молекулярных полос Cl<sub>2</sub>\* в спектре излучения XeCl-эксилампы при возбуждении барьера разрядом сравнительно мала [5].

\* Эдуард Анатольевич Соснин (badik@loi.hcei.tsc.ru); Светлана Владимировна Автаева (s\_avtaeva@krsu.edu.kg); Виктор Александрович Панарин (panarin@yandex.ru); Виктор Федотович Тарасенко (VFT@loi.hcei.tsc.ru).

В [6] показано, что оптимальные энергетические характеристики для B → X-полосы молекулы XeCl\* наблюдаются при давлении 120 торр в смеси Xe : Cl<sub>2</sub> ~ 120 : (1–0,5). Наш опыт эксплуатации XeCl-эксиламп барьера разряда (БР) в этих условиях выявил, что в процессе работы помимо излучения такая лампа формирует в окружающем воздухе озон, хотя оболочка лампы выполнена из кварца, который почти не пропускает вакуумное ультрафиолетовое (ВУФ) излучение ( $\lambda < 200$  нм).

Таким образом, есть основания предполагать, что в указанных рабочих условиях [6] заметный вклад в лучистый поток эксилампы кроме молекулы XeCl\* вносит 2-й континуум молекул Xe<sub>2</sub>\* (континуум имеет максимум на  $\lambda = 172$  нм и основание несколько десятков нм). Известно, что концентрация хлора в бинарной смеси Xe : Cl<sub>2</sub> сильно влияет на характеристики XeCl-эксилампы БР [2]. С учетом этих фактов была поставлена задача изучения вклада обеих указанных молекул в излучение эксилампы при изменении концентрации хлора в бинарной смеси.

## Экспериментальное оборудование и методики

Для эксперимента использовалась колба, выполненная из двух коаксиальных кварцевых трубок 1, 2, имеющих толщину 1,5 мм и герметично запаянных на концах (рис. 1). Внешние диаметры трубок 1 и 2 составляли 11 и 21 см соответственно. Кварцевые трубы образуют разрядный промежуток 3 толщиной 4 мм. Колба была изготовлена в ООО «Технокварц» из кварца, имеющего при указанной толщине пропускание 65% на длине волны 172 нм.

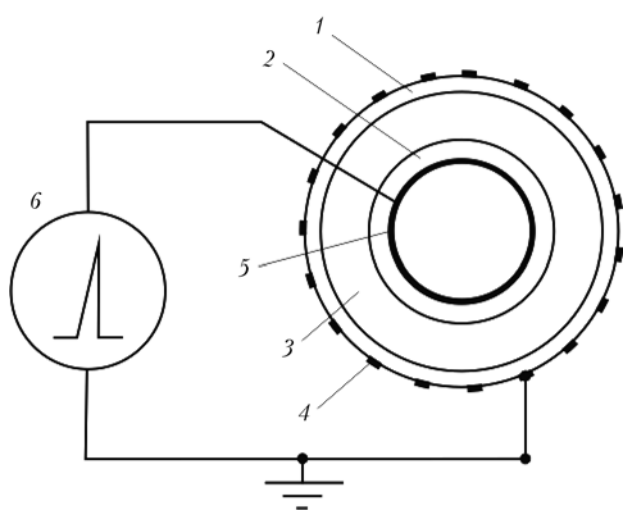


Рис. 1. Конструкция коаксиальной эксилампы барьерного разряда: 1, 2 – внешняя и внутренняя кварцевые трубы колбы; 3 – разрядный промежуток; 4 – внешний перфорированный электрод; 5 – внутренний электрод-отражатель; 6 – импульсный источник питания

Сплошной металлический электрод 5 был размещен на оси трубок, внутри трубы меньшего диаметра. Внешний электрод 4 был перфорированным, имел пропускание 86% и был заземлен.

Давление смеси в разрядном промежутке было фиксировано и составляло 240 торр, а концентрация  $\text{Cl}_2$  варьировалась в диапазоне от 0,01 до 1%. Барьерный разряд зажигался при подаче от источника питания 6 на электроды импульсов напряжения амплитудой 5 кВ и частотой повторения 55,8 кГц.

Осциллографмы импульсов напряжения и тока на эксилампе регистрировались с помощью осциллографа TDS-224, делителя напряжения и токового шунта. Полная (активная) мощность и мощность излучения лампы определялись так, как описано в [7].

Для измерения энергетической светимости использовали фотодетектор C8026 фирмы Hamamatsu с двумя головками, чувствительными для измерения в диапазонах 160–350 нм (H8025-222) и 150–220 нм (H8025-172). Головки использовались одновременно. Поскольку спектральная чувствительность обеих головок была известна, можно было точно изме-

рять долю излучения, которая приходится на молекулу  $\text{XeCl}^*$ , и долю, излучаемую молекулой  $\text{Xe}_2^*$  в ВУФ-диапазоне спектра. Поскольку оба детектора обладают спектральной чувствительностью в диапазоне  $\lambda \sim 160$ –220 нм, то для определения доли ВУФ-излучения в показаниях головки H8025-172 использовался светофильтр БС-3. Аналогично выделялась доля УФ-излучения молекулы  $\text{XeCl}^*$ , измеряемая головкой H8025-222. Во время измерений между головкой фотодетектора и поверхностью колбы осуществлялась продувка аргоном, чтобы исключить поглощение ВУФ-излучения воздухом.

## Результаты эксперимента и численного моделирования

Данные измерений мощности и эффективности излучения эксилампы, а также вводимой мощности, полученные экспериментально, при концентрациях хлора в смеси  $\text{Xe}-\text{Cl}_2$  0,001–1% представлены в табл. 1.

Таблица 1

**Мощность излучения эксилампы в УФ- и ВУФ-диапазонах, вводимая мощность и эффективность излучения при различных концентрациях хлора в смеси**

Cl <sub>2</sub> , %	Мощность излучения, Вт		Вводимая мощность, Вт	$\eta$ , %
	XeCl <sup>*</sup>	Xe <sub>2</sub> <sup>*</sup>		
1	0,52	$9,7 \cdot 10^{-4}$	31,3	1,7
0,4	0,63	$2,6 \cdot 10^{-3}$	32,1	2
0,2	0,71	$10,3 \cdot 10^{-3}$	39,6	1,8
0,01	0,37	0,24	37,9	1,6

Значения в табл. 1 учитывают как спектральную чувствительность фотодетекторов, так и спектр пропускания кварца. Видно, что с уменьшением доли хлора в смеси мощность ВУФ-излучения молекул  $\text{Xe}_2^*$  увеличивается, а УФ-излучения молекул  $\text{XeCl}^*$  вначале растет, потом падает. Максимальная эффективность излучения достигнута в условиях, близких к отмеченным в [6].

Дополнительно характеристики плазмы БР в смесях  $\text{Xe}-\text{Cl}_2$  с концентрациями  $\text{Cl}_2$  0,1; 0,5; 1 и 5% были рассчитаны в рамках одномерной гидродинамической модели БР между плоскопараллельными электродами, покрытыми слоем диэлектрика. Детальное описание модели можно найти в работе [4]. Расчеты проведены для следующих параметров разряда: давление смеси 250 торр, величина газового промежутка 4 мм, толщина диэлектрических слоев с относительной диэлектрической проницаемостью 4–2 мм. К электродам прикладывалось напряжение  $U_S = U_0 \sin 2\pi ft$  с частотой 100 кГц и амплитудой 4,25 или 5 кВ. При концентрации хлора в смеси 5% напряжение  $U_S$  амплитудой 4,25 кВ было недостаточным для пробоя газового промежутка.

Применение модели позволило оценить диссиацию электрической энергии электронами и ионами [8]. Удельная мощность, вкладываемая в разряд, рассчитывалась согласно соотношению

$$P_{in} = \frac{1}{T} \frac{1}{d} \int_0^T \int_0^d j_c(z', t') E(z', t') dz' dt', \quad (1)$$

где  $j_c(z', t')$  — плотность тока проводимости;  $E(z', t')$  — напряженность электрического поля;  $t$  — время;  $T$  — период изменения напряжения;  $z$  — пространственная координата;  $d$  — длина газового промежутка.

Удельные мощности, вкладываемые в электроны, отрицательные и положительные ионы, рассчитывались как

$$P_k = \frac{1}{T} \frac{1}{d} \int_0^T \int_0^d e E(z', t') \Gamma_k(z', t') dz' dt'. \quad (2)$$

Здесь  $e$  — элементарный заряд;  $\Gamma_k(z', t')$  — поток заряженных частиц сорта  $k$ .

Результаты расчета удельной мощности, вложенной в разряд, и ее распределения между электронами и положительными и отрицательными ионами в зависимости от концентрации хлора в смесях Xe—Cl<sub>2</sub> показаны на рис. 2.

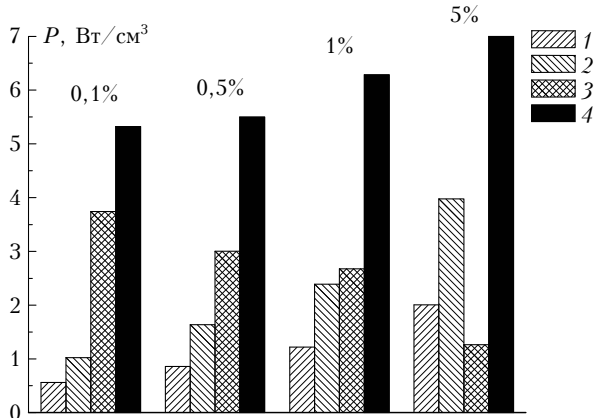


Рис. 2. Мощность, потраченная на нагрев электронов, положительных и отрицательных ионов, и полная мощность, вложенная в разряд, при различных концентрациях хлора в Xe—Cl<sub>2</sub>-смесях при амплитуде напряжения источника 5 кВ: 1 — положительные, 2 — отрицательные ионы; 3 — электроны; 4 — полная мощность

Диссилируемая в разряде энергия возрастает с ростом концентрации хлора и с увеличением амплитуды напряжения. При этом увеличение амплитуды напряжения источника питания приводит главным образом к увеличению мощности, вкладываемой в положительные и отрицательные ионы.

Результаты расчета эффективности излучения  $\eta_i$  для длин волн линий атомов ксенона и полос экимеров и суммарная эффективность излучения при различных концентрациях Cl<sub>2</sub> в смесях Xe—Cl<sub>2</sub> представлены в табл. 2 и на рис. 3.

Эффективность излучения  $\eta_i$  для возбужденных частиц сорта  $i$  рассчитывалась как отношение мощности их излучения  $P_{out,i}$  к вкладываемой в разряд мощности  $P_{in}$  в течение периода изменения напряжения:

$$\eta_i = \frac{P_{out,i}}{P_{in}} = \frac{\int_0^T \int_0^d h v_i N_i(z', t') / \tau_i dz' dt'}{\int_0^T \int_0^d j_c(z', t') E(z', t') dz' dt'}, \quad (3)$$

где  $N_i(z', t')$ ,  $v_i$ ,  $\tau_i$  — концентрация, частота излучения и время жизни возбужденных частиц сорта  $i$ ;  $h$  — постоянная Планка.

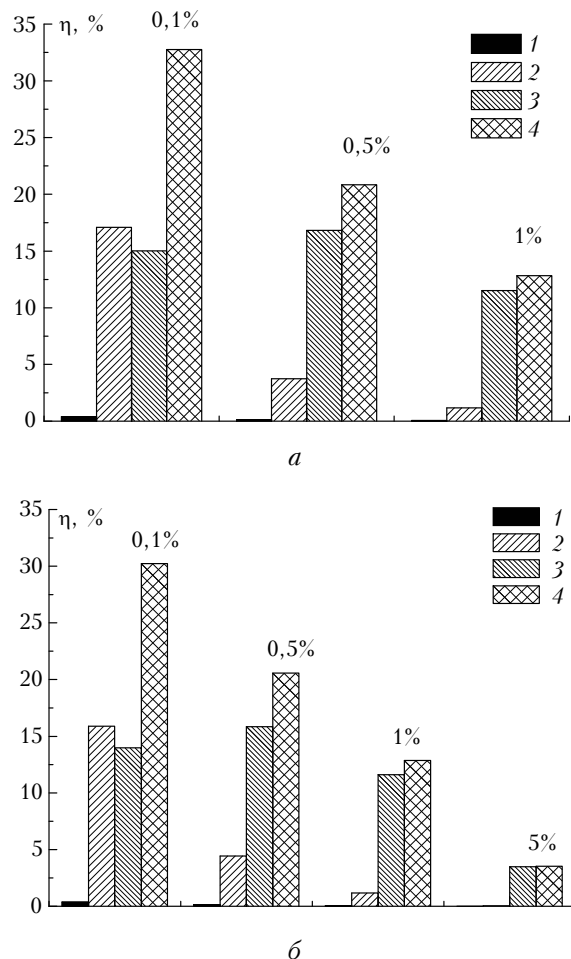


Рис. 3. Рассчитанная эффективность излучения барьерного разряда на различных длинах волн и суммарная эффективность излучения в смесях Xe—Cl<sub>2</sub> при различных концентрациях хлора и амплитуде напряжения 4,25 (а) и 5 кВ (б): 1 — 147 (Xe<sub>r</sub>); 2 — 172 (Xe<sub>2\*</sub>); 3 — 308 нм (XeCl\*); 4 — суммарная эффективность излучения

При концентрации хлора 0,1% значения  $\eta_i$  для полос Xe<sub>2\*</sub> и XeCl\* сравнимы. При увеличении концентрации хлора эффективность излучения Xe<sub>2\*</sub> ( $\lambda = 172$  нм) быстро падает, и тем сильнее, чем больше концентрация хлора в смеси. Эффективность излучения на других длинах волн (147, 152, и 490 нм) мала при всех концентрациях хлора в смеси. Нет заметной разницы в эффективности излучения разряда на различных длинах волн при амплитудах напряжения 4,25 и 5 кВ.

Таблица 2

**Эффективность излучения на различных длинах волн и суммарная эффективность излучения БР в смесях Xe–Cl<sub>2</sub> при амплитуде напряжения источника питания 5,0 кВ**

Cl <sub>2</sub> , %	Xe <sub>r</sub> 147 нм	Xe <sub>2</sub> * 172 нм	Xe <sub>2</sub> ** 152 нм	XeCl* 308 нм	Xe <sub>2</sub> Cl* 490 нм	Суммарная $\eta_i$ , %
0,1	0,36	15,90	0,0012	13,98	0,0013	30,23
0,5	0,15	4,44	0,05	15,84	0,10	20,58
1	0,05	1,17	$1,7 \cdot 10^{-4}$	11,63	$5,5 \cdot 10^{-4}$	12,85
5	0,005	0,04	$1 \cdot 10^{-5}$	3,49	$5 \cdot 10^{-5}$	3,54

При концентрации хлора в смеси 0,1% примерно 46% излучения разряда приходится на излучение XeCl\*, ~52% на излучение Xe<sub>2</sub>\* и ~2% на излучение других излучающих компонентов плазмы.

При концентрации хлора 0,5% около 80,8% излучения разряда приходится на излучение XeCl\*, ~18% на излучение Xe<sub>2</sub>\* и ~1,2% на излучение других излучающих компонентов. При концентрации хлора ~1% примерно 90% излучения разряда приходится на XeCl\*, ~9% на Xe<sub>2</sub>\* и 0,9% на другие излучающие компоненты. Наконец, примерно ~98,6% излучения разряда приходится на XeCl\*, ~1,1% – на Xe<sub>2</sub>\* и ~0,3% на другие излучающие компоненты при концентрации хлора 5%. Таким образом, при концентрациях хлора 0,5–5% разряд излучает в основном на полосе B → X молекул XeCl\*. Максимальная эффективность излучения наблюдается при концентрации хлора 0,5%. Это находится в согласии с результатами, полученными экспериментально (см. табл. 1).

Следует отметить, что, хотя при концентрациях хлора в смеси 0,5–1% излучение B → X-полосы XeCl\* преобладает в излучении БР в Xe–Cl<sub>2</sub>, тем не менее на ВУФ-излучение молекул Xe<sub>2</sub>\* приходится заметная доля излучения разряда: ~9–18%. Часть этого излучения, которая пропускается кварцевой оболочкой лампы, инициирует формирование озона в окружающем воздухе. Расчеты показали, что максимальная плотность мощности излучения B → X-полосы XeCl\* и максимальная эффективность излучения достигаются при концентрации хлора в смеси 0,5%.

## Обсуждение результатов

На рис. 4 представлены зависимости экспериментально измеренных и рассчитанных эффективностей излучения, нормированных на их максимальные значения, от концентрации хлора в смеси Xe–Cl<sub>2</sub>. Как видно, зависимости имеют подобный вид. Максимум эффективности наблюдается при концентрации хлора в смеси 0,4–0,5%.

В то же время эффективности излучения барьерного разряда, рассчитанные в рамках гидродинамической модели, значительно превышают эффективности излучения, измеренные экспериментально. Причин этому несколько.

### Энергетические характеристики эксилампы барьерного разряда на смеси Xe–Cl<sub>2</sub>

9. Оптика атмосферы и океана, № 10.

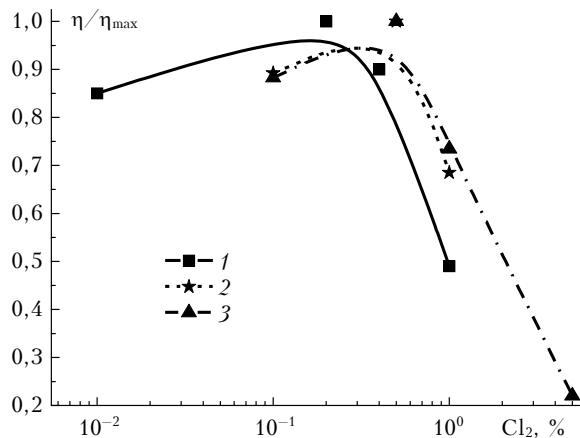


Рис. 4. Нормированные на максимальные значения экспериментально измеренная и рассчитанная эффективности излучения БР в смеси Xe–Cl<sub>2</sub> в зависимости от концентрации хлора в смеси: 1 – эксперимент; 2 – расчет при  $U_0 = 4,25$  кВ; 3 – расчет при  $U_0 = 5$  кВ

Во-первых, конструкция лампы приводит к потерям излучения, которые не учитываются при моделировании в рамках гидродинамической модели. Большая доля излучения лампы поглощается сплошным металлическим электродом, размещенным на оси трубы. Как показано в работе [9], использование отражателей позволяет повысить эффективность эксиламп на ~30%.

Во-вторых, разряд в эксилампах БР в рабочих условиях эксплуатации обычно неоднороден и состоит из множества микроразрядов [1–3]. Занимаемый микроразрядами объем много меньше объема эксилампы и в общем случае определяется условиями в разряде. В гидродинамической модели разряд в поперечном направлении предполагается однородным [10]. Это приводит к тому, что при одинаковой величине амплитуд импульсов напряжения источника питания эксилампы и гармонического напряжения, используемого в модели разряда, мощности, вкладываемые в единицу объема, сильно отличаются. Действительно, мощность, вкладываемая в  $1 \text{ см}^3$  однородного в поперечном направлении разряда, составляет несколько ватт, а мощность, вкладываемая в  $1 \text{ см}^3$  эксилампы, ~0,03–0,04 Вт (полная вводимая мощность ~30–40 Вт (см. табл. 1), объем ~980 см<sup>3</sup>).

В-третьих, используемая в эксперименте частота повторения импульсов напряжения составляла 55,8 кГц, а в расчетах использовалось гармоническое напряжение частотой 100 кГц. Это увеличивает разницу между измеренными и рассчитанными значениями эффективности излучения.

## Заключение

Экспериментально и теоретически изучено влияние концентрации хлора в бинарной смеси Xe–Cl<sub>2</sub> на энергетические характеристики и эффективность излучения плазмы в коаксиальной эксилампе БР.

Показано, что при концентрации хлора в смеси 0,2% и выше излучение полосы B → X молекул

$\text{XeCl}^*$  с максимумом интенсивности на длине волны 308 нм доминирует в потоке излучения эксилампы. Максимальная эффективность излучения эксилампы на этой полосе наблюдается при концентрации хлора в смеси 0,4–0,5%. При концентрации хлора в смеси 0,01–0,1% мощности излучения молекул  $\text{Xe}_2^*$  (172 нм) и  $\text{XeCl}^*$  (308 нм) сопоставимы. С увеличением концентрации хлора в смеси мощность излучения 2-го континуума молекулы  $\text{Xe}_2^*$  быстро падает.

Экспериментально наблюдаемое и моделируемое в рамках гидродинамической модели влияние концентрации хлора на эффективность излучения хорошо согласуется. Величина максимальной эффективности излучения, согласно расчетам, наблюдается при концентрации хлора 0,5%, согласно измерениям – 0,4%. В то же время рассчитанные абсолютные значения эффективности излучения в несколько раз превышают экспериментально измеренные. Это связано с ограничениями одномерной модели при моделировании процессов в фильтраторном барьерном разряде и с потерями излучения в эксилампе.

В заключение отметим, что для уменьшения выхода ВУФ-излучения эксимера  $\text{Xe}_2^*$  можно повышать содержание хлора в смеси  $\text{Xe}-\text{Cl}_2$ . Например, согласно расчетам при увеличении концентрации хлора с 0,5 до 1% эффективность излучения эксимера  $\text{Xe}_2^*$  уменьшается в 2 раза, в то время как эффективность излучения эксиплекса  $\text{XeCl}^*$  уменьшается всего на 9% по отношению к максимальной эффективности.

Работа выполнена при частичной финансовой поддержке Российского фонда фундаментальных исследований (проект РФФИ № 12-08-00020-а).

1. Gellert B., Kogelschatz U. Generation of excimer emission in dielectric barrier discharges // *Appl. Phys. B*. 1991. V. 52, N 1. P. 14–21.
2. Sosnin E.A., Tarasenko V.F., Lomaev M.I. UV and VUV excilamps. Saarbrücken, Deutschland / Germany: LAP LAMBERT Academic Publishing, 2012. 318 p.
3. Kogelschatz U. Silent-discharge driven excimer UV sources and their applications // *Appl. Surf. Sci.* 1992. V. 54, N 9. P. 410–423.
4. Avtaeva S.V., Saghi B., Rahmani B. One-Dimensional Fluid Model and Characteristics of the Dielectric Barrier Discharge in 0.99 Xe – 0.01  $\text{Cl}_2$  Mixture // *IEEE Transactions on Plasma Sci.* 2011. V. 39, N 9. P. 1814–1822.
5. Ломаев М.В., Скаун В.С., Соснин Э.А., Тарасенко В.Ф., Шитц Д.В., Ерофеев М.В. Эксилампы – эффективные источники спонтанного УФ- и ВУФ-излучения // Успехи физ. наук. 2003. Т. 173, № 2. С. 201–217.
6. Ломаев М.И., Тарасенко В.Ф., Ткачев А.Н., Шитц Д.В., Яковленко С.И. О формировании конусообразных микроразрядов в  $\text{KrCl}$ - и  $\text{XeCl}$ -эксилампах // Ж. техн. физ. 2004. Т. 74, вып. 6. С. 129–133.
7. Sosnin E.A., Avdeev S.M., Panarin V.A., Tarasenko V.F., Pikulev A.A., Tsvetkov V.M. The radiative and thermodynamic processes in DBD driven  $\text{XeBr}$  and  $\text{KrBr}$  exciplex lamps // *Eur. Phys. J. D.* 2011. V. 62, N 3. P. 405–411.
8. Avtaeva S. Hydrodynamic Modeling of the Dielectric Barrier Discharges in Xe and Xe– $\text{Cl}_2$  Mixtures // Horizons in World Physics. Vol. 279 / Ed.: Kenneth R. Carter and George E. Murphy. New York: Nova Publishers, USA, 2012. P. 1–36.
9. Ломаев М.И., Соснин Э.А., Тарасенко В.Ф., Шитц Д.В., Скаун В.С., Ерофеев М.В. Эксилампы барьерного и емкостного разряда и их приложения // Приборы и техн. эксперим. 2006. № 5. С. 5–26.
10. Автаева С.В. Барьерный разряд. Исследование и применение. Saarbrücken, Germany: LAP LAMBERT Academic Publishing, 2011. 193 c.

*E.A. Sosnin, S.V. Avtaeva, V.A. Panarin, V.F. Tarasenko. Energy characteristics of dielectric barrier discharge excilamps on a  $\text{Xe}-\text{Cl}_2$  mixture.*

The paper reports on experimental and theoretical research in the effect of chlorine concentration on the radiation efficiency of a coaxial dielectric barrier discharge  $\text{Xe}-\text{Cl}_2$  excilamp at a working mixture pressure of 240–250 Torr. The experiments were performed in the range of  $\text{Cl}_2$  concentrations 0.01–1%. The characteristics of the barrier discharge were calculated in the framework of a one-dimensional magnetohydrodynamic model in the range of  $\text{Cl}_2$  concentrations 0.1–5%.

It is shown that at a chlorine concentration of 0.01–0.1%, the radiation intensities of the  $\text{Xe}_2^*$  band (172 nm) and  $\text{XeCl}^*$  band (308 nm) are comparable. As the  $\text{Cl}_2$  concentration in the mixture is increased, the radiation intensity of  $\text{Xe}_2$  decreases rapidly, and at a chlorine concentration of  $\geq 0.2\%$ , the radiant flux of the discharge is dominated by the  $\text{XeCl}$  ( $B \rightarrow X$ ) band with a maximum intensity at 308 nm. The maximum radiation efficiency of this band is attained at chlorine concentrations of 0.4–0.5%.

The numerical simulation shows that the total power deposited in the discharge increases with the chlorine concentration due to the increase in the power expended in the heating of positive and negative ions. The power dissipated by electrons decreases as the chlorine concentration in the working mixtures is increased.

Recommendations are given on choosing the chlorine content in the mixture to decrease the VUV radiation intensity of the second  $\text{Xe}_2^*$  excimer continuum with a little decrease in excilamp efficiency.